

Байдин О. В., канд. техн. наук, докторант

Белгородский государственный технологический университет им. В.Г. Шухова

Царева А. В., аспирант,

Иванов А., д-р техн. наук,

Бондаренко В. М., акад. РААСН, д-р техн. наук, проф.

Московская государственная академия коммунального хозяйства и строительства

К РАСЧЕТУ СОПРОТИВЛЕНИЯ ДЕФОРМИРОВАНИЮ ПОВРЕЖДЕННОГО КОРРОЗИЕЙ ЖЕЛЕЗОБЕТОНА

oleg.v31@yandex.ru

В работе рассматривается силовое сопротивление деформированию поврежденного коррозией железобетона с построением соответствующей расчетной модели.

Ключевые слова: коррозийные повреждения, уровень напряженного состояния, сопротивление деформированию.

Продвижение коррозийных повреждений в бетон эксплуатируемых железобетонных конструкций зависит от номинации бетона и концентрации агрессивного компонента среды, качества бетона и уровня напряженного состояния [1]. По мере роста напряжений в сжатой зоне сечений в начале, до 0,45 предела прочности бетона, происходит уплотнение бетона и уменьшение его проницаемости, что сдерживает продвижение фронта повреждений, а далее с ростом напряжений структура бетона меняется, сначала появляются микротрешины, затем трещины и поры объединяются, проницаемость растет, процесс повреждений бетона интенсифицируется, глубина коррозийного фронта уве-

личивается. Однако, у эксплуатируемых конструкций существенно, что процесс коррозионных воздействий затухает во времени и повреждения стабилизируются (нагружение конструкций считается законченным до начала коррозионных воздействий, а в дальнейшем нагрузка и внешние коррозионные факторы принимаются неизменными во времени).

Кинетика продвижения фронта коррозионных повреждений бетона применительно к равномерно сжатым образцам проанализирована в [4], где введено аналитическое соотношение связи глубины повреждения, скорости и времени:

$$\frac{d(\Delta\delta)}{dt} = -\alpha(\Delta\delta)^m, \text{ где } \Delta\delta = \frac{\delta_{kp} - \delta}{\delta_{kp}} \text{ при } m \geq 1, \quad (1)$$

где: δ – глубина фронта продвижения коррозионных повреждений к моменту наблюдения t ; $\Delta\delta$ – относительный дефицит величины повреждений в момент времени t к его величине при стабилизации δ_{kp} ; α , m и δ_{kp} – эмпирические параметры, зависящие от уровня напряжений

$\eta = \frac{\sigma}{R}$ (σ – действующие напряжения, R – предел прочности).

Решение (1) для $m \geq 1$ имеет вид:

$$\delta(t, t_0) = f_m(\alpha, m, t) \delta_{kp}(t_0); \quad (2)$$

когда при $m = 1$: $f_1 = 1 - \Delta\delta(t_0, t_0) e^{-\alpha(t-t_0)}$; (3)

при $m = 2, 3, 4, \dots$:

$$f_m = 1 - \left\{ \Delta\delta(t_0, t_0) \right\}^{[-m+1]} + \alpha [(-m)+1] (t - t_0)^{\frac{1}{[-m+1]}} \}. \quad (4)$$

В соответствии с описанными выше структурными изменениями бетона, зависимости параметров α, m, δ_{kp} от уровня напряжений приводятся на рис. 1 [4].

Здесь при $\eta = 0$ будет $m = m_0$; $\alpha = \alpha_0$; $\delta_{kp} = \delta_{kp,0}$;

при $\eta = 0,45$ будет $m = m_{max}$; $\alpha = \alpha_{min}$; $\delta_{kp} = \delta_{kp,min}$.

Причем, при $\eta = 0,9$ будет $m_{0,9} = 1$, а значения $m_0, \alpha_0, \delta_{kp,0}, m_{max}, \alpha_{min}, \delta_{kp,min}, \alpha_{0,9}, \delta_{kp,0,9}$

Аппроксимация представленных на рис. 1 графиков осуществима кривыми второго порядка:

$$m = \sum_{i=2}^{i=2} q_{m_i} \eta^i; \quad \alpha = \sum_{i=2}^{i=2} q_{\alpha_i} \eta^i; \quad \delta_{kp} = \sum_{i=2}^{i=2} q_{\delta_{kp,i}} \eta^i. \quad (5)$$

$$(6) \quad (7)$$

должны быть установлены экспериментально для различных сочетаний агрессора и бетона.

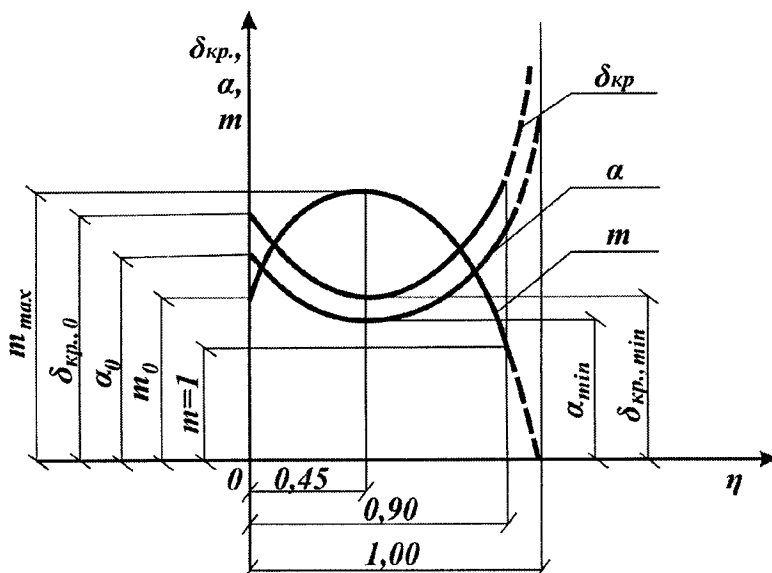


Рис. 1. Схема зависимостей эмпирических параметров α, m, δ_{kp} от уровня напряжений η

Решения (5) при (6) дают:

– для m :

$$q_{m_0} = m_0 : q_{m_1} = \frac{1}{0,41} [(m_0 - m_{0,9}) + 2(m_{max} - m_0)]; \quad q_{m_1} = \frac{1}{0,45} [(m_{max} - m_0) - 0,45^2 q_{m_1}]; \quad (8)$$

– для α :

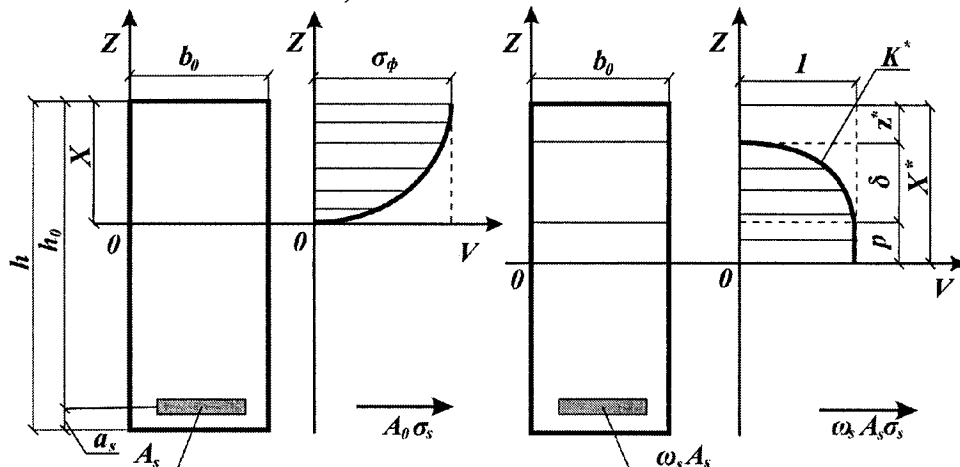
$$q_{\alpha_0} = \alpha_0 : q_{\alpha_1} = \frac{1}{0,9} [(\alpha_{0,9} - \alpha_0) - 2(\alpha_{min} - \alpha_0)]; \quad q_{\alpha_1} = \frac{1}{0,45} [(\alpha_{min} - \alpha_0) - 0,45^2 q_{\alpha_1}]; \quad (9)$$

– для δ_{kp} :

$$q_{\delta_{kp}} = \delta_{kp,0} : q_{\delta_{kp,1}} = \frac{1}{0,9} [(\delta_{0,9} - \delta_0) - 2(\delta_{kp,min} - \delta_{kp,0})]; \quad q_{\delta_{kp,1}} = \frac{1}{0,45} [(\delta_{kp,min} - \delta_0) - 0,45^2 q_{\delta_{kp,1}}]. \quad (10)$$

Применимально к бетону сжатой зоны изгибающего железобетонного элемента, напряжения в которой неизменны по высоте, возмож-

но (до проведения специальных экспериментов) вычислить некие средние напряжения (рис. 2).



A

Рис. 2. Напряженное состояние сечений: вариант А. Нагруженное поперечное сечение до коррозийных повреждений; вариант Б. Нагруженное поперечное сечение после коррозийных повреждений:

h – общая высота сечения; h_0 – рабочая высота сечения; a_s – защитный слой бетона для арматуры; b_0 – ширина сечения; X^* – высота сжатой зоны; δ – глубина коррозионных повреждений; Z^* – толщина полностью разрушенного бетона сжатой зоны; p – толщина неповрежденного слоя бетона; A_s – площадь сечения растянутой арматуры; ω_s – коэффициент сохранения силового сопротивления арматуры; K^* – функция (кривая) сохранения механических свойств

В качестве рабочего алгоритма вычисления расчетных нормальных напряжений сжатия, не-

обходимых для оценки $m(\eta)$, может быть применена схема [3] – рис. 2.

$$\sigma = \sigma_{b,\phi} \left(\frac{z}{X} \right)^n, \text{ где } \sigma_{b,\phi} = \frac{M}{M_{np}} R; n_\sigma = 1 - \frac{M}{M_{np}}, \quad (11)$$

где:

$\sigma_{b,\phi}$ – фибровые напряжения сжатия; X – высота сжатой зоны; M – действующий в сечении изгибающий момент; M_{np} – предельный изгибающий момент.

Следует отметить, что все эти факторы (обозначенные в формуле (11)) учитываются в стадии до коррозийных повреждений.

Формула (11) для σ отражает любой уровень напряженного состояния в линейной и нелинейной трактовке, в частности, при $M = 0$ будет $n_\sigma = 1$ и эпюра σ очерчивается треугольником, при $M = M_{np}$, $n_\sigma = 0$ и эпюра σ очерчивается прямоугольником.

Далее, для сжатия среднее напряжение вычисляется (рис. 2) по следующей формуле:

$$\sigma_{cp} = \int_p^{\delta} \frac{\sigma dz}{\delta - p} = \frac{(X^{(1+n_\sigma)} - p^{(1+n_\sigma)})}{(1+n_\sigma)(\delta - p)X^n} \frac{M}{M_{np}} R, \quad (12)$$

которое, в частности, при $p = 0$ будет равно:

$$E_{ep,n}(t, t_0) = \left[\frac{1}{E_{me}(t)} + C(t, t_0) - \int_0^t \frac{\sigma(\tau)}{\sigma(t)} \frac{dC(t, \tau)}{dt} d\tau \right]^{-1}, \quad (15)$$

а при $\sigma = const$:

$$E_{ep,n}(t, t_0) = \left[\frac{1}{E_{me}(t)} + C(t, t_0) \right]^{-1} = \frac{E_{me}(t)}{1 + E_{me}(t)C(t, t_0)}, \quad (16)$$

заметим, что (16) применяется в СНиП.

Здесь:

S^0 – приведенная к полным относительным деформациям функция нелинейности; $E_{me}(t)$ и $C(t, t_0)$ – модуль мгновенной деформации и простая ползучесть, записи которых включают влияние возраста.

Таким образом, временный модуль деформации (15), который зависит от напряжений, времени и режима, меняется по высоте сечения, вдоль пролета во времени.

При этом неизбежно, что в каждом сечении меняется положение центра тяжести приведенного сечения и, следовательно, положение осей отсчета жесткостей [6] и значений самих жесткостей, а также возмущает само перемещение центров тяжести (последние особенно значимы

$$\sigma_{cp} = \frac{X}{(1+n_\sigma)\delta} \frac{M}{M_{np}} R = \frac{X}{\left(2 - \frac{M}{M_{np}}\right)\delta} \frac{M}{M_{np}} R, \quad (13)$$

при этом, поскольку σ_{cp} влияет на δ , которое в свою очередь зависит от $m(\sigma), \alpha(\sigma), \delta_{kp}(\sigma)$, возможны последовательные уточнения.

Уравнения силового сопротивления бетона в полных относительных деформациях и напряжениях при неубывающем режиме нагружения имеют вид [2, 6]:

$$\varepsilon(t) = \frac{\sigma(t)}{E_{ep}(\sigma, t, t_0)} = \frac{\sigma(t)S^0(\sigma)}{E_{ep,n}(t, t_0)}, \quad (14)$$

где временный линейный модуль деформации согласно [3] равен:

для сжатых конструкций, что меняет вдоль пролета расчетные эксцентрикитеты).

Одновременно, в случае воздействия агрессивной коррозийной среды, глубина продвижения фронта которого δ (2) также зависит от σ_{cp} (12), меняющегося вдоль пролета, а сами повреждения теряют интенсивность по мере углубления (рис. 2). Таким образом, помимо указанных выше факторов проявляется фактор коррозийных повреждений [6], снижающий временный модуль деформации $E_{ep,n}$ и, следовательно, всю фигуру силового сопротивления сечений

$$E_{ep,n}^*(t, t_0) = K^* \cdot E_{ep,n}(t, t_0), \quad (17)$$

который и вводится в алгоритм расчета жесткостей.

Согласно [5], функция сохранения механических характеристик бетонов при их коррозии

онных повреждениях имеет вид (рис. 2, вариант Б):

$$K^*(z) = \sum_0^{i=2} a_i z^i, \text{ где } a_0 = 1 - \left(\frac{p}{\delta}\right)^2; a_1 = \frac{2p}{\delta^2}; a_2 = -\frac{1}{\delta^2}. \quad (18)$$

Таким образом, построена расчетная модель и представлена последовательность вычислений силового сопротивления деформированию.

БИБЛИОГРАФИЧЕСКИЙ СПИСОК

1. Байдин, О.В. Тенденции физических основ коррозии бетона / О.В. Байдин // Вестник БГТУ им. В. Г. Шухова. – 2011. – № 3. – С. 27 – 28. – ISSN 2071-7318.
2. Байдин, О.В. Силовое сопротивление образованию трещин поврежденного коррозией железобетона / О.В. Байдин // Вестник БГТУ им. В.Г. Шухова. – 2012. – № 1. – С. 11 – 14. – ISSN 2071-7318.
3. Бондаренко, В.М. Некоторые вопросы нелинейной теории железобетона / В.М. Бонда-ренко. – Харьков: Изд-во Харьковского универ-ситета, 1968. – 234 с.
4. Бондаренко, В.М. Феноменология кине-тики повреждений бетона железобетонных кон-струкций, эксплуатирующихся в агрессивной среде / В.М. Бондаренко // Бетон и железобетон. – 2008. – № 2. – С. 25 – 28. – ISSN 0005-9889.
5. Бондаренко, В.М. Некоторые фундамен-тальные вопросы развития теории железобетона / В.М. Бондаренко // Строительная механика инженерных конструкций и сооружений. – 2010. – № 2. – С. 5 – 11. – ISSN 0039-2383.
6. Царева, А.В. Некоторые вопросы дисси-пации силового сопротивления деформирова-нию эксплуатируемого железобетона / А.В. Ца-рева, О.В. Байдин, А. Иванов, В.М. Бондаренко // Строительная механика и расчет сооружений. – 2012. – № 6. – ISSN 0039-2383.